

# 从古典海森堡模型到螺旋磁性

Yan Zha (查言) 

2024.10.17

## 1 磁性材料的种类

物质可以大致分为显示磁性的物质和不显示磁性的物质。显示磁性的物质称为**磁性材料**，而不显示磁性的物质称为**非磁性材料**。磁性材料在升高温度时也会发生相变，转变为无磁性的状态（**顺磁性状态**）。

### 1.1 磁铁:强磁性(又称铁磁性)与亚铁磁性

在磁铁的情况下，磁性的来源是微观磁铁——**磁矩**的排列，当磁矩沿一个方向排列时，磁性就会显现出来。每个磁矩的大小虽然很小，但当磁矩朝同一方向整齐排列时，整体表现出大的磁矩，这种物质被称为**强磁性材料**。此时，磁矩的总和称为**磁化**。

强磁性材料的磁化曲线如图1所示。即使在外部磁场的情况下，物质也可以具有非零的磁化，你可以绘制出依赖

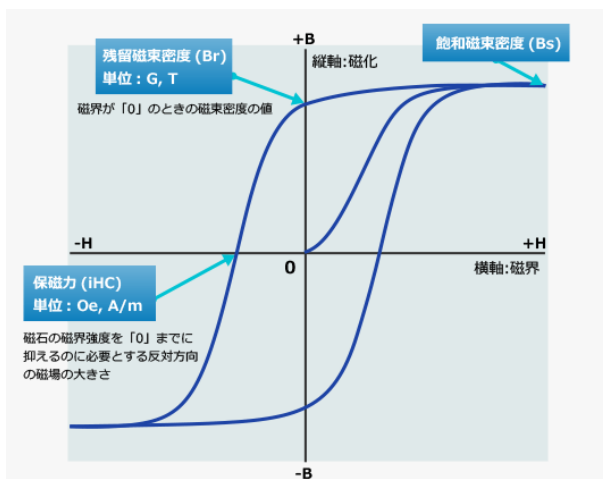


Figure 1: 强磁性材料的磁化曲线。

于过去磁化状态的曲线（磁滞现象）。图1中的**剩磁密度**（**剩余磁化**）和**矫顽力**是表征磁铁性能的重要参数。

在低磁场区域，**磁畴**<sup>1</sup>的形成会导致磁化的减少<sup>2</sup>。在高磁场区域，当所有磁矩都朝向磁场方向时，磁化达到饱和状态（**饱和磁化**）。此外，将高磁场区域磁化曲线的微小斜率外推到零磁场时的磁化强度称为**自发磁化**。

某些磁铁也属于**亚铁磁性材料**。亚铁磁性是指，当物质中存在两种磁性原子/离子时，A类磁矩与B类磁矩大小不同且方向相反排列，这种情况下会出现铁磁性。虽然A类和B类磁矩相互抵消，但由于磁矩的大小不同，其差值表现为宏观磁化。亚铁磁性材料的磁化曲线与强磁性材料的磁化曲线非常相似(图3)。

### 1.2 反磁性

如同在亚铁磁性中看到的那样，除了磁矩相互平行排列的情况外，还存在相互反平行（即相反方向）排列的情况。在由一种原子或离子组成的磁性材料中，邻近的磁矩分别指向相反的方向排列，整个物质不表现出磁化，这种磁性被称为**反铁磁性**。在过渡金属氧化物中，反铁磁性材料有许多实例。

反铁磁性材料的磁化过程在低磁场区域表现为相对于磁场线性增加（线性响应）。当施加强弱磁场时，反平行排列的磁矩会逐渐向磁场方向倾斜，但由于无法完全向磁场方向倾斜，因而只表现出微弱的磁化；而在强磁场下，磁矩可能会集体发生90度的旋转，试图向磁场方向倾斜（**自旋翻转转变**）。

<sup>1</sup>磁畴其实是一种拓扑孤子。孤子作为波包广泛存在于自然界中，例如潮汐波或台风。当它通过非线性弥散介质时，其形状和速度不会改变 (Menzel 2011)。在数学中，孤子是非线性偏微分方程的解，例如Landau–Lifshitz方程和Yang–Mills方程。具有拓扑保护的孤子不能衰变为平庸解，这意味着拓扑保护解与平庸解不等价。在材料中存在许多拓扑孤子 (Menzel 2011)，例如晶体中的螺旋位错，铁磁体中的畴壁，以及其他自旋结构如涡旋、meron、气泡和斯格明子。对拓扑孤子的操控可能会带来磁存储和自旋电子学中的应用 (Parkin et al. 2008; Pfleiderer and Rosch 2010; Jung et al. 2011; Zhang et al. 2015)。

<sup>2</sup>特别是对于铁这种物质，由于磁畴的存在一般情况下不表现出磁性。一旦施加外部磁场，则会显现磁性并且可以保持很长一段时间。所以说铁本质上和磁石是同一种磁性，即“强磁性”。

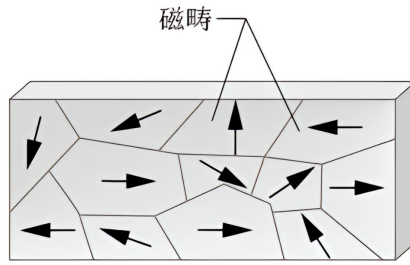


Figure 2: 磁畴。

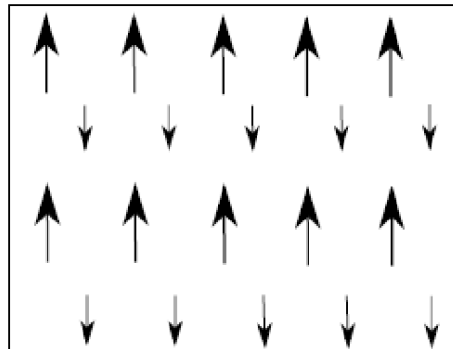


Figure 3: 亚铁磁性的示意图。

当用 Hamiltonian 来表示如上述那样平行或反平行排列的磁矩之间的相互作用时，可以用以下形式的矢量内积来表示（交换相互作用）：

$$\mathcal{H} = JS_1 \cdot S_2 \quad (1)$$

其中， $S_1$ 和 $S_2$ 分别表示相邻的自旋。在过渡金属中，自旋是磁矩的主要来源。从内积形式可以看出，当 $J < 0$ 时，相邻自旋平行排列时能量最低（强磁性），而在反铁磁性或铁磁性中， $J > 0$ 时，相邻自旋反平行排列（即相反方向）是稳定状态。

### 1.3 螺旋磁性 (Helical/Spiral magnetism)

磁矩不仅仅沿同一轴方向平行或反平行排列，还可以呈现螺旋状的有序结构（螺旋磁性）。这种磁有序与强磁性或反磁性等共线磁排列相比，被称为非共线磁排列。

螺旋磁性主要有两个已知起源。其一是**挫折机制**。例如，当最近邻的磁矩之间存在反铁磁性相互作用（对于最近邻，即使是强磁性相互作用也可以），并且次近邻磁矩之间也存在反铁磁性相互作用时，就会出现螺旋磁性。此外，即使只考虑最近邻的相互作用，也可能产生**几何挫折机制**。例如，如图4所示，当磁矩排列在三角晶格中并假设它们之

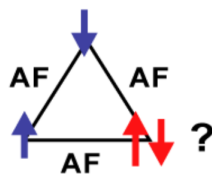


Figure 4: 在三角形上的自旋，由于反铁磁性相互作用，会产生几何挫折。

间存在反铁磁性相互作用时，无法形成理想的反铁磁性排列，而可能会出现倾斜的磁排列（120度）。这是因为当图4中三角形的两个顶点的自旋形成反铁磁性排列时，剩下的一个自旋必然会与其中一个自旋呈现强磁性排列。为了避免因强磁性排列带来的能量损失，螺旋磁结构可能作为一种折衷方案出现。接下来，我们将解释由挫折机制引起的螺旋磁性。

#### 1.3.1 经典Heisenberg模型

在解释螺旋磁性之前，先介绍在螺旋磁性推导过程中使用的经典Heisenberg模型。经典Heisenberg模型的形式化定义如

下:在 $d$ 维格子上, 每个格点上配置一个具有 $x, y, z$ 三个分量且长度为1的自旋向量<sup>3</sup>

$$\mathbf{S}_i \in \mathbb{R}^3, |\mathbf{S}_i| = 1 \quad (2)$$

这个系统的Hamiltonian定义如下:

$$\mathcal{H}_{\text{Heisenberg}} = -2 \sum_{\langle i,j \rangle} \mathcal{J}_{ij} \mathbf{S}_i \cdot \mathbf{S}_j \quad (3)$$

其中, 耦合系数 $\mathcal{J}_{ij}$ 为

$$\mathcal{J}_{ij} = \begin{cases} J & \text{如果 } i, j \text{ 是相邻点} \\ 0 & \text{其他情况} \end{cases} \quad (4)$$

这是自旋之间的耦合系数。如果第 $i$ 个和第 $j$ 个自旋是相邻的, 则 $\mathcal{J}_{ij}$ 取值为 $J$ , 否则取值为0。

### 1.3.2 前提知识:Fourier变换时Fourier系数需满足的条件: $n_{-p}^* = n_p$ 的证明

首先我们考虑一个在方向 $x$ 上周期为 $a$ 的一维函数 $n(x)$ 。我们将 $n(x)$ 展开为正弦和余弦形式的Fourier级数:

$$n(x) = n_0 + \sum_{k>0}^{\infty} [C_k \cos kx + S_k \sin kx] \quad (5)$$

对于周期性条件 $n(x) = n(x+a)$ ,

$$\begin{aligned} n(x+a) &= n_0 + \sum_{k>0}^{\infty} [C_k \cos k(x+a) + S_k \sin k(x+a)] \\ &= n_0 + \sum_{k>0}^{\infty} [C_k \cos kx \cos ka - C_k \sin kx \sin ka + S_k \sin kx \cos ka + S_k \sin ka \cos kx] \\ &= n(x) \end{aligned} \quad (6)$$

我们得到

$$\begin{aligned} C_k \cos k(x+a) + S_k \sin k(x+a) \\ = C_k \cos kx \cos ka - C_k \sin kx \sin ka + S_k \sin kx \cos ka + S_k \sin ka \cos kx \end{aligned} \quad (7)$$

因为 $a$ 表示一个周期, 因此显然 $\cos ka = 1$ 且 $\sin ka = 0$ 。这导致了条件:

$$ka = 2\pi p \Rightarrow k = \frac{2\pi p}{a} \quad (8)$$

其中 $p$ 为代表周期指数(periodic index)的正整数。

我们将Fourier级数Eq.(5)重写, 并不要忘记周期性条件:

$$n(x) = n_0 + \sum_{p>0}^{\infty} \left[ C_p \cos \frac{2\pi p}{a} x + S_p \sin \frac{2\pi p}{a} x \right] \quad (9)$$

其中 $C_p$ 和 $S_p$ 是实常数, 称为展开的**Fourier系数**。参数 $2\pi/a$ 确保了 $n(x)$ 的周期为 $a$ 。

我们称 $2\pi p/a$ 为Fourier空间中晶体的倒格子点。在一维中, 这些点位于一条线上。倒易格子点告诉我们Fourier级数中允许的项。如果一个项与晶体的周期性一致, 它就是允许的, 如图5所示; 倒易空间中的其他点不允许出现在周期函数的Fourier展开中。

由于 $a$ 表示一个周期, 因此将Eq.(9)表达得更加紧凑为:

$$n(x) = \sum_{p=-\infty}^{\infty} n_p \exp\left(i \frac{2\pi p}{a} x\right) \quad (10)$$

其中求和范围涵盖所有整数 $p$  (正的, 负的和零)。系数 $n_p$ 是复数。为了确保 $n(x)$ 是实函数, 我们需要条件:

$$n_{-p}^* = n_p \quad (11)$$

其中星号表示 $n_{-p}$ 的共轭复数。这确保了对应于 $p$ 和 $-p$ 的项之和为实数。

接下来我们将证明Eq.(11)。

如果Eq.(11)成立, Eq.(10)中 $p$ 和 $-p$ 的项之和将为实数。具体来说, 这些项的和为:

$$n_p \exp(i\phi) + n_{-p} \exp(-i\phi) = \text{Real number} \quad (12)$$

<sup>3</sup>然而, 在 $4f$ 电子体系中, 角动量算符由轨道和自旋角动量之和 $\mathbf{J}$ 表示, 向量的大小有时可能大于1。

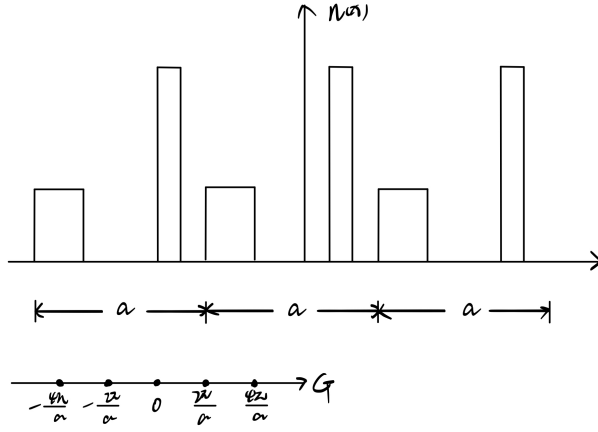


Figure 5: 周期函数 $n(x)$ 的周期为 $a$ , 在Fourier变换中可能出现的项 $2\pi p/a$ 。  $n(x) = \sum_{n_p} \exp(i \frac{2\pi p}{a} x)$ 。

其中 $\phi = \frac{2\pi p}{a} x$ 。现在我们将 $n_p$ ,  $n_{-p}$ ,  $n_p^*$ 和 $n_{-p}^*$ 展开为:

$$\begin{aligned} n_p &= n_{pr} + in_{pi}, & n_{-p} &= n_{-pr} + in_{-pi} \\ n_p^* &= n_{pr} - in_{pi}, & n_{-p}^* &= n_{-pr} - in_{-pi} \end{aligned} \quad (13)$$

类似地, 我们可以将 $\exp(i \frac{2\pi p}{a} x)$ 展开为 $\cos(\frac{2\pi p}{a} x) + i \sin(\frac{2\pi p}{a} x)$ 。因此, Eq.(12)的左侧变为:

$$\begin{aligned} &(n_{pr} + in_{pi})(\cos \phi + i \sin \phi) + (n_{-pr} + in_{-pi})(\cos \phi - i \sin \phi) = \\ &(n_{pr} + n_{-pr}) \cos \phi - (n_{pi} - n_{-pi}) \sin \phi + i[(n_{pi} + n_{-pi}) \cos \phi + (n_{pr} - n_{-pr}) \sin \phi] \end{aligned} \quad (14)$$

由于 $n(x)$ 必须是实函数, 表达式中的虚部必须为零。对于任意 $p$ , 这个条件必须成立, 意味着Eq.(14)中 $\sin(\phi)$ 和 $\cos(\phi)$ 的系数必须为零。因此, 为了确保 $n(x)$ 是实数, 条件为:

$$\begin{cases} n_{pr} = n_{-pr} \\ n_{pi} = -n_{-pi} \end{cases} \quad (15)$$

这些是确保 $n(x)$ 为实函数的必要条件。

### 1.3.3 最低能量(基态)下的自旋排列的确定

求解经典Heisenberg模型Hamiltonian的特征值和特征函数通常是很难做到的, 因为这是一个多体问题。即便只讨论基态问题, 除非 $\mathcal{J}(\mathbf{r}_i - \mathbf{r}_j)$ 在所有情况下都为正, 否则问题也会变得非常困难。因此, 我们假设 $\mathbf{S}_i$ 是一个经典向量。在这种情况下, 基态就是能使式(3)中的能量最小的向量取向。在三维情况下, 自旋的有序排列几乎不受量子效应的影响。

为了简化讨论, 我们考虑自旋 $\mathbf{S}$ 所在的晶格点构成了一个Bravais格子<sup>4</sup>。即, 单位胞包含一个磁性离子(自旋)。另外, 交换积分<sup>5</sup>只依赖于格子的相对位置, 因此

$$\mathcal{J}(\mathbf{r}_i - \mathbf{r}_j) = \mathcal{J}(\mathbf{r}_j - \mathbf{r}_i) \quad (16)$$

满足这个偶函数关系。

为了使讨论更清晰, 我们首先考虑 $\mathbf{S}_i$ 的Fourier变换:

$$\mathbf{S}_q = \frac{1}{\sqrt{N}} \sum_i \mathbf{S}_i \exp(-i\mathbf{q} \cdot \mathbf{r}_i) \quad (17)$$

其中,  $\mathbf{r}_i$ 可以用基本平移向量 $\mathbf{a}_1$ ,  $\mathbf{a}_2$ ,  $\mathbf{a}_3$ 表示为:

$$\mathbf{r}_i = n_{1i}\mathbf{a}_1 + n_{2i}\mathbf{a}_2 + n_{3i}\mathbf{a}_3 \quad (18)$$

同时, 与 $\mathbf{a}$ 存在

$$\mathbf{b}_1 = \frac{2\pi(\mathbf{a}_2 \times \mathbf{a}_3)}{\mathbf{a}_1 \cdot (\mathbf{a}_2 \times \mathbf{a}_3)}, \quad \mathbf{b}_2 = \frac{2\pi(\mathbf{a}_3 \times \mathbf{a}_1)}{\mathbf{a}_1 \cdot (\mathbf{a}_2 \times \mathbf{a}_3)}, \quad \mathbf{b}_3 = \frac{2\pi(\mathbf{a}_1 \times \mathbf{a}_2)}{\mathbf{a}_1 \cdot (\mathbf{a}_2 \times \mathbf{a}_3)} \quad (19)$$

关系的向量 $\mathbf{b}$ 来表示的

$$\mathbf{K}_i = n_{1i}\mathbf{b}_1 + n_{2i}\mathbf{b}_2 + n_{3i}\mathbf{b}_3 \quad (20)$$

<sup>4</sup> 当只包含一个原子时, 自然地将该原子置于格点并以其为中心, 这样的格子被称为布拉菲格子(Bravais格子)。

<sup>5</sup> 交换积分 $\mathcal{J}$ 可能难以直观理解, 但可以看作电子1在位置 $\mathbf{r}_1$ 的轨道 $\phi_a$ 与 $\phi_b$ 的重叠电荷密度 $\rho_{ab}(\mathbf{r}_1)$ 与电子2在位置 $\mathbf{r}_2$ 的重叠电荷密度 $\rho_{ba}(\mathbf{r}_2)$ 之间的相互作用。

叫做倒格子矢量，倒格子矢量所结成的空间叫做倒格子(空间)。以 $\mathbf{b}$ 为基矢来表示 $\mathbf{q}$ :

$$\mathbf{q} = q_1 \mathbf{b}_1 + q_2 \mathbf{b}_2 + q_3 \mathbf{b}_3 \quad (21)$$

这里 $q_n$ 的值由周期性边界条件给出<sup>6</sup>:

$$q_n = \frac{n_n}{N_n} \quad (n_n = \text{integer}) \quad (22)$$

$N_n$ 为基本平移向量 $\mathbf{a}_n$ 方向上的单位胞数，所有格点的总数 $N$ 为 $N_1$ ， $N_2$ 和 $N_3$ 的乘积。

由于 $\mathbf{S}_i$ 是实数，因此 $\mathbf{q}$ 满足:

$$\mathbf{S}_q^* = \mathbf{S}_{-q}, \quad \mathbf{S}_{-q}^* = \mathbf{S}_q \quad (23)$$

这一点已在前一节的式(5)到(15)中证明。

通过逆Fourier变换，自旋向量 $\mathbf{S}_i$ 可以表示为:

$$\mathbf{S}_i = \frac{1}{\sqrt{N}} \sum_{\mathbf{q}} \mathbf{S}_{\mathbf{q}} \exp(i\mathbf{q} \cdot \mathbf{r}_i) \quad (24)$$

其中，对 $q_1$ ， $q_2$ 和 $q_3$ 的求和在第一Brillouin区内进行。

将式(24)代入式(3)，可以将经典Heisenberg模型的Hamiltonian用波矢量 $\mathbf{q}$ 表示。详细计算如下<sup>7</sup>:

$$\begin{aligned} & \mathcal{H}_{\text{Heisenberg}} \\ &= -2 \sum_{\langle i,j \rangle} \mathcal{J}_{ij}(\mathbf{r}_i - \mathbf{r}_j) \mathbf{S}_i \cdot \mathbf{S}_j \\ &= -2 \sum_{\langle i,j \rangle} \mathcal{J}_{ij}(\mathbf{r}_i - \mathbf{r}_j) \left\{ \frac{1}{\sqrt{N}} \sum_{\mathbf{q}} \mathbf{S}_{\mathbf{q}} \exp(i\mathbf{q} \cdot \mathbf{r}_i) \right\} \cdot \left\{ \frac{1}{\sqrt{N}} \sum_{\mathbf{q}'} \mathbf{S}_{\mathbf{q}'} \exp(i\mathbf{q}' \cdot \mathbf{r}_j) \right\} \\ &= -2 \frac{1}{N} \sum_{\mathbf{r}_i - \mathbf{r}_j} \sum_{\mathbf{r}_i} \mathcal{J}_{ij}(\mathbf{r}_i - \mathbf{r}_j) \frac{1}{N} \left\{ \sum_{\mathbf{q}} \sum_{\mathbf{q}'} \mathbf{S}_{\mathbf{q}} \cdot \mathbf{S}_{\mathbf{q}'} \exp[i(\mathbf{q} \cdot \mathbf{r}_i + \mathbf{q}' \cdot \mathbf{r}_j)] \right\} \\ &= - \sum_{\mathbf{r}_i - \mathbf{r}_j} \sum_{\mathbf{r}_i} \mathcal{J}_{ij}(\mathbf{r}_i - \mathbf{r}_j) \frac{1}{N} \left\{ \sum_{\mathbf{q}} \sum_{\mathbf{q}'} \mathbf{S}_{\mathbf{q}} \cdot \mathbf{S}_{\mathbf{q}'} \exp[i(\mathbf{q} \cdot \mathbf{r}_i + \mathbf{q}' \cdot \mathbf{r}_i - \mathbf{q}' \cdot \mathbf{r}_i + \mathbf{q}' \cdot \mathbf{r}_j)] \right\} \\ &= - \sum_{\mathbf{r}_i - \mathbf{r}_j} \sum_{\mathbf{r}_i} \mathcal{J}_{ij}(\mathbf{r}_i - \mathbf{r}_j) \frac{1}{N} \left\{ \sum_{\mathbf{q}} \sum_{\mathbf{q}'} \mathbf{S}_{\mathbf{q}} \cdot \mathbf{S}_{\mathbf{q}'} \exp[i(\mathbf{q} + \mathbf{q}') \cdot \mathbf{r}_i] \exp[i\mathbf{q}' \cdot (\mathbf{r}_j - \mathbf{r}_i)] \right\} \\ &= - \sum_{\mathbf{r}_i - \mathbf{r}_j} \mathcal{J}_{ij}(\mathbf{r}_i - \mathbf{r}_j) \frac{1}{N} \left\{ \sum_{\mathbf{q}} \sum_{\mathbf{q}'} \mathbf{S}_{\mathbf{q}} \cdot \mathbf{S}_{\mathbf{q}'} \exp[i\mathbf{q}' \cdot (\mathbf{r}_j - \mathbf{r}_i)] \underbrace{\sum_{\mathbf{r}_i} \exp[i(\mathbf{q} + \mathbf{q}') \cdot \mathbf{r}_i]} \right\} \end{aligned} \quad (25)$$

作为Delta函数 $\delta$ 的Fourier变换，有

$$\frac{1}{N} \sum_{\mathbf{r}_i} \exp(i\mathbf{q} \cdot \mathbf{r}_i) = \delta(\mathbf{q}), \quad \frac{1}{N} \sum_{\mathbf{q}} \exp(i\mathbf{q} \cdot \mathbf{r}_i) = \delta(\mathbf{r}_i) \quad (26)$$

<sup>6</sup>请注意，下标的 $n$ 与基本平移矢量中的单位矢量的系数的 $n$ 的含义不同。前者表示方向，例如作为下标的 $n = 1$ 时表示1号方向，或者用更通俗易懂的说法， $x$ 方向。所以作为下标的 $n$ 可以取的最大值为空间的次元数；而后者表示基本平移矢量的系数，表示在某方向上移动几个单位矢量。

<sup>7</sup>关于式(25)等式最右边的部分，可能有人会想“把对 $i$ 的求和 $\sum_{\mathbf{r}_i}$ 拿到后面真的没关系吗？”，实际上 $\mathbf{r}_j - \mathbf{r}_i$ 表示的是相对的位置，对于绝对的位置 $\mathbf{r}_i$ 没有影响。

这样的关系存在，带入上式的波浪线部分( $\sum_{\mathbf{r}_i} \exp [i(\mathbf{q} + \mathbf{q}') \cdot \mathbf{r}_i]$ )，可得

$$\begin{aligned}
\mathcal{H}_{\text{Heisenberg}} &= - \sum_{\mathbf{r}_i - \mathbf{r}_j} \mathcal{J}_{ij}(\mathbf{r}_i - \mathbf{r}_j) \frac{1}{\mathcal{N}} \left\{ \sum_{\mathbf{q}} \sum_{\mathbf{q}'} \mathbf{S}_{\mathbf{q}} \cdot \mathbf{S}_{\mathbf{q}'} \exp [i\mathbf{q}' \cdot (\mathbf{r}_j - \mathbf{r}_i)] \underbrace{\mathcal{N} \delta(\mathbf{q} + \mathbf{q}')}_{\text{波浪线}} \right\} \\
&= - \sum_{\mathbf{r}_i - \mathbf{r}_j} \mathcal{J}_{ij}(\mathbf{r}_i - \mathbf{r}_j) \sum_{\mathbf{q}} \left\{ \sum_{\mathbf{q}'} \mathbf{S}_{\mathbf{q}} \cdot \mathbf{S}_{\mathbf{q}'} \exp [i\mathbf{q}' \cdot (\mathbf{r}_j - \mathbf{r}_i)] \delta(\mathbf{q} + \mathbf{q}') \right\} \\
&= - \sum_{\mathbf{r}_i - \mathbf{r}_j} \mathcal{J}_{ij}(\mathbf{r}_i - \mathbf{r}_j) \sum_{\mathbf{q}} \mathbf{S}_{\mathbf{q}} \cdot \mathbf{S}_{-\mathbf{q}} \exp [-i\mathbf{q} \cdot (\mathbf{r}_j - \mathbf{r}_i)] \\
&= - \sum_{\mathbf{r}_i - \mathbf{r}_j} \mathcal{J}_{ij}(\mathbf{r}_i - \mathbf{r}_j) \sum_{\mathbf{q}} \mathbf{S}_{\mathbf{q}} \cdot \mathbf{S}_{-\mathbf{q}} \exp [i\mathbf{q} \cdot (\mathbf{r}_i - \mathbf{r}_j)] \\
&= - \sum_{\mathbf{q}} \mathbf{S}_{\mathbf{q}} \cdot \mathbf{S}_{-\mathbf{q}} \left\{ \sum_{\mathbf{r}_i - \mathbf{r}_j} \mathcal{J}_{ij}(\mathbf{r}_i - \mathbf{r}_j) \exp [i\mathbf{q} \cdot (\mathbf{r}_i - \mathbf{r}_j)] \right\} \\
&= - \sum_{\mathbf{q}} \mathbf{S}_{\mathbf{q}} \cdot \mathbf{S}_{-\mathbf{q}} \mathcal{J}(\mathbf{q}) \\
&= - \sum_{\mathbf{q}} \mathbf{S}_{\mathbf{q}} \cdot \mathbf{S}_{\mathbf{q}}^* \mathcal{J}(\mathbf{q})
\end{aligned} \tag{27}$$

其中， $\mathcal{J}(\mathbf{q})$ 定义为相互作用的Fourier展开:

$$\mathcal{J}(\mathbf{q}) = \sum_{\mathbf{r}_i - \mathbf{r}_j} \mathcal{J}_{ij}(\mathbf{r}_i - \mathbf{r}_j) \exp [i\mathbf{q} \cdot (\mathbf{r}_i - \mathbf{r}_j)] = \mathcal{J}(-\mathbf{q}) = \mathcal{J}(\mathbf{q})^* \tag{28}$$

它是一个实数量。

### 1.3.4 螺旋排列的出现条件

设 $\mathcal{J}(\mathbf{q})$ 的最大值为 $\mathcal{J}(\mathbf{Q})$ ，根据式(28)， $\mathbf{Q}$ 可以从理论上确定。假设自旋 $\mathbf{S}_i$ 的大小为 $S$ ，则其平方为

$$\begin{aligned}
S^2 &= \mathbf{S}_i \cdot \mathbf{S}_i \\
&= \left\{ \frac{1}{\sqrt{N}} \sum_{\mathbf{q}} \mathbf{S}_{\mathbf{q}} \exp (i\mathbf{q} \cdot \mathbf{r}_i) \right\} \cdot \left\{ \frac{1}{\sqrt{N}} \sum_{\mathbf{q}'} \mathbf{S}_{\mathbf{q}'} \exp (i\mathbf{q}' \cdot \mathbf{r}_i) \right\} \\
&= \frac{1}{N} \left\{ \sum_{\mathbf{q}} \sum_{\mathbf{q}'} \mathbf{S}_{\mathbf{q}} \cdot \mathbf{S}_{\mathbf{q}'} \exp [i(\mathbf{q} + \mathbf{q}') \cdot \mathbf{r}_i] \right\}
\end{aligned} \tag{29}$$

我们将对 $i$ 进行求和，并使用Delta函数来处理这一式子:

$$\sum_i S^2 = \sum_i \frac{1}{N} \left\{ \sum_{\mathbf{q}} \sum_{\mathbf{q}'} \mathbf{S}_{\mathbf{q}} \cdot \mathbf{S}_{\mathbf{q}'} \exp [i(\mathbf{q} + \mathbf{q}') \cdot \mathbf{r}_i] \right\} \tag{30}$$

化简后得到:

$$NS^2 = \frac{1}{N} \sum_{\mathbf{q}} \sum_{\mathbf{q}'} \mathbf{S}_{\mathbf{q}} \cdot \mathbf{S}_{\mathbf{q}'} \underbrace{\left\{ \sum_i \exp [i(\mathbf{q} + \mathbf{q}') \cdot \mathbf{r}_i] \right\}}_{\text{波浪线}} \tag{31}$$

使用Delta函数的关系(式(26))，可以简化为:

$$\begin{aligned}
NS^2 &= \frac{1}{\mathcal{N}} \sum_{\mathbf{q}} \sum_{\mathbf{q}'} \mathbf{S}_{\mathbf{q}} \cdot \mathbf{S}_{\mathbf{q}'} \mathcal{N} \delta(\mathbf{q} + \mathbf{q}') \\
&= \sum_{\mathbf{q}} \mathbf{S}_{\mathbf{q}} \cdot \mathbf{S}_{-\mathbf{q}} \\
&= \sum_{\mathbf{q}} \mathbf{S}_{\mathbf{q}} \cdot \mathbf{S}_{\mathbf{q}}^*
\end{aligned} \tag{32}$$

根据Heisenberg模型的对称性,  $\mathcal{J}(\mathbf{q})$ 是波矢 $\mathbf{q}$ 的偶函数(式(28))。假设 $\mathcal{J}(\mathbf{q})$ 在 $\pm\mathbf{Q}$ 处取得极大值<sup>8</sup>, 我们仅考虑单一波矢(Single- $\mathbf{Q}$ ), 即 $\mathbf{S}_{\mathbf{Q}}$ 和 $\mathbf{S}_{-\mathbf{Q}}$ 以外的 $\mathbf{S}_{\mathbf{q}}$ 皆为零<sup>9</sup>, 展开式(32)并化简:

$$S^2 = \frac{1}{N} \sum_{\mathbf{q}} \mathbf{S}_{\mathbf{q}} \cdot \mathbf{S}_{-\mathbf{q}} = \frac{1}{N} (\mathbf{S}_{-\mathbf{Q}} \cdot \mathbf{S}_{\mathbf{Q}} + \mathbf{S}_{\mathbf{Q}} \cdot \mathbf{S}_{-\mathbf{Q}}) = \frac{2}{N} \mathbf{S}_{\mathbf{Q}} \cdot \mathbf{S}_{-\mathbf{Q}} \quad (33)$$

把这个结果带入式(29)的左侧, 则有

$$\begin{aligned} \frac{2}{N} \mathbf{S}_{\mathbf{Q}} \cdot \mathbf{S}_{-\mathbf{Q}} &= \frac{1}{N} \left\{ \sum_{\mathbf{q}} \sum_{\mathbf{q}'} \mathbf{S}_{\mathbf{q}} \cdot \mathbf{S}_{\mathbf{q}'} \exp [i(\mathbf{q} + \mathbf{q}') \cdot \mathbf{r}_i] \right\} \\ &= \frac{1}{N} \{ \mathbf{S}_{\mathbf{Q}} \cdot \mathbf{S}_{\mathbf{Q}} \exp [2i\mathbf{Q} \cdot \mathbf{r}_i] + \mathbf{S}_{-\mathbf{Q}} \cdot \mathbf{S}_{-\mathbf{Q}} \exp [-2i\mathbf{Q} \cdot \mathbf{r}_i] + 2\mathbf{S}_{\mathbf{Q}} \cdot \mathbf{S}_{-\mathbf{Q}} \} \end{aligned} \quad (34)$$

通过消去 $(2/N) \mathbf{S}_{\mathbf{Q}} \cdot \mathbf{S}_{-\mathbf{Q}}$ , 我们得到:

$$\mathbf{S}_{\mathbf{Q}} \cdot \mathbf{S}_{\mathbf{Q}} \exp [2i\mathbf{Q} \cdot \mathbf{r}_i] + \mathbf{S}_{-\mathbf{Q}} \cdot \mathbf{S}_{-\mathbf{Q}} \exp [-2i\mathbf{Q} \cdot \mathbf{r}_i] = 0 \quad (35)$$

由于指数项 $\exp$ 不为零, 所以有:

$$\mathbf{S}_{\mathbf{Q}} \cdot \mathbf{S}_{\mathbf{Q}} = \mathbf{S}_{-\mathbf{Q}} \cdot \mathbf{S}_{-\mathbf{Q}} = 0 \quad (36)$$

式(36)对于任何 $\mathbf{r}_i$ 都成立。

现在我们引入实数矢量 $\mathbf{R}_{\mathbf{Q}}$ ,  $\mathbf{I}_{\mathbf{Q}}$ ( $\mathbf{S}_{\mathbf{Q}}$ 的实部和虚部), 将 $\mathbf{S}_{\mathbf{Q}}$ 用 $\mathbf{R}_{\mathbf{Q}}$ ,  $\mathbf{I}_{\mathbf{Q}}$ 来表示:

$$\begin{cases} \mathbf{S}_{\mathbf{Q}} = \mathbf{R}_{\mathbf{Q}} + i\mathbf{I}_{\mathbf{Q}} \\ \mathbf{S}_{-\mathbf{Q}} = \mathbf{R}_{\mathbf{Q}} - i\mathbf{I}_{\mathbf{Q}} \end{cases} \quad (37)$$

然后将以 $\mathbf{R}_{\mathbf{Q}}$ ,  $\mathbf{I}_{\mathbf{Q}}$ 来表示的 $\mathbf{S}_{\mathbf{Q}}$ 带回式(36),

$$\begin{aligned} \mathbf{S}_{\mathbf{Q}} \cdot \mathbf{S}_{\mathbf{Q}} &= (\mathbf{R}_{\mathbf{Q}} + i\mathbf{I}_{\mathbf{Q}}) \cdot (\mathbf{R}_{\mathbf{Q}} + i\mathbf{I}_{\mathbf{Q}}) \\ &= \mathbf{R}_{\mathbf{Q}} \cdot \mathbf{R}_{\mathbf{Q}} - \mathbf{I}_{\mathbf{Q}} \cdot \mathbf{I}_{\mathbf{Q}} + i2\mathbf{R}_{\mathbf{Q}} \cdot \mathbf{I}_{\mathbf{Q}} \\ &= |\mathbf{R}_{\mathbf{Q}}|^2 - |\mathbf{I}_{\mathbf{Q}}|^2 + i2\mathbf{R}_{\mathbf{Q}} \cdot \mathbf{I}_{\mathbf{Q}} \\ &= 0 \end{aligned} \quad (38)$$

由于 $\mathbf{S}_{\mathbf{Q}} \cdot \mathbf{S}_{\mathbf{Q}}$ 必须满足**实部**和**虚部**同时等于0这个条件, 可得:

$$\begin{cases} |\mathbf{R}_{\mathbf{Q}}|^2 - |\mathbf{I}_{\mathbf{Q}}|^2 = 0 \\ 2\mathbf{R}_{\mathbf{Q}} \cdot \mathbf{I}_{\mathbf{Q}} = 0 \end{cases} \Rightarrow \begin{cases} |\mathbf{R}_{\mathbf{Q}}|^2 = |\mathbf{I}_{\mathbf{Q}}|^2 & \text{实部与虚部的长度(大小)相等} \\ \mathbf{R}_{\mathbf{Q}} \perp \mathbf{I}_{\mathbf{Q}} & \mathbf{R}_{\mathbf{Q}} \text{与} \mathbf{I}_{\mathbf{Q}} \text{相互垂直} \end{cases} \quad (39)$$

将这两个条件带回式(33)的等号最右边, 得到:

$$S^2 = \frac{2}{N} (\mathbf{R}_{\mathbf{Q}} + i\mathbf{I}_{\mathbf{Q}}) \cdot (\mathbf{R}_{\mathbf{Q}} - i\mathbf{I}_{\mathbf{Q}}) = \frac{4}{N} |\mathbf{R}_{\mathbf{Q}}|^2 = \frac{4}{N} |\mathbf{I}_{\mathbf{Q}}|^2 \quad (40)$$

$$|\mathbf{R}_{\mathbf{Q}}|^2 = |\mathbf{I}_{\mathbf{Q}}|^2 = \frac{1}{4} N S^2 \quad (41)$$

所以, 系统的最低能量为:

$$\begin{aligned} E_{\min} &= -\mathbf{S}_{\mathbf{Q}} \cdot \mathbf{S}_{-\mathbf{Q}} \mathcal{J}(\mathbf{Q}) - \mathbf{S}_{-\mathbf{Q}} \cdot \mathbf{S}_{\mathbf{Q}} \mathcal{J}(-\mathbf{Q}) \\ &= -2\mathbf{S}_{\mathbf{Q}} \cdot \mathbf{S}_{-\mathbf{Q}} \mathcal{J}(\mathbf{Q}) \\ &= -2(\mathbf{R}_{\mathbf{Q}} + i\mathbf{I}_{\mathbf{Q}}) \cdot (\mathbf{R}_{\mathbf{Q}} - i\mathbf{I}_{\mathbf{Q}}) \mathcal{J}(\mathbf{Q}) \\ &= -2\frac{2}{4} N S^2 \mathcal{J}(\mathbf{Q}) \\ &= -N S^2 \mathcal{J}(\mathbf{Q}) \end{aligned} \quad (42)$$

最后, 我们可以利用波矢 $\mathbf{S}_{\mathbf{Q}}$ 表达实空间中的自旋矢量 $\mathbf{S}_i$ 。利用“ $\mathbf{S}_{\mathbf{Q}}$ 与 $\mathbf{S}_{-\mathbf{Q}}$ 之外的 $\mathbf{S}_{\mathbf{q}}$ 全部为0”这一条件, 将 $\mathbf{S}_{\mathbf{Q}}$ 和 $\mathbf{S}_{-\mathbf{Q}}$ 的实部和虚部代入 $\mathbf{S}_i$ 的Fourier变换(式(17)), 并且将含有虚数单位 $i$ 的指数函数展开为 $\sin$ 与 $\cos$ 的函数:

$$\begin{aligned} \mathbf{S}_i &= \frac{1}{\sqrt{N}} [\mathbf{S}_{\mathbf{Q}} \exp (i\mathbf{Q} \cdot \mathbf{r}_i) + \mathbf{S}_{-\mathbf{Q}} \exp (-i\mathbf{Q} \cdot \mathbf{r}_i)] \\ &= \frac{1}{\sqrt{N}} [(\mathbf{R}_{\mathbf{Q}} + i\mathbf{I}_{\mathbf{Q}}) (\cos \mathbf{Q} \cdot \mathbf{r}_i + i \sin \mathbf{Q} \cdot \mathbf{r}_i) + (\mathbf{R}_{\mathbf{Q}} - i\mathbf{I}_{\mathbf{Q}}) (\cos \mathbf{Q} \cdot \mathbf{r}_i - i \sin \mathbf{Q} \cdot \mathbf{r}_i)] \\ &= \frac{2}{\sqrt{N}} [\mathbf{R}_{\mathbf{Q}} \cos \mathbf{Q} \cdot \mathbf{r}_i - \mathbf{I}_{\mathbf{Q}} \sin \mathbf{Q} \cdot \mathbf{r}_i] \end{aligned} \quad (43)$$

<sup>8</sup>即:在有限的距离内具有一个重复的构造。

<sup>9</sup>对于强磁性( $\mathbf{Q} = 0$ )和反强磁性( $\mathbf{Q} =$  第一Brillouin区的边界)的情况不做考虑, 因为我们要求的是螺旋磁性。毫无疑问, 强磁性和反强磁性的解答也是函数的极值。

利用 $|\mathbf{R}_Q|^2 = |\mathbf{I}_Q|^2 = \frac{1}{4}NS^2$ (式(41)), 将 $\mathbf{R}_Q, \mathbf{I}_Q$ 进行归一化, 则有:

$$\begin{aligned} \mathbf{S}_i &= \frac{2}{\sqrt{N}} |\mathbf{R}_Q| \left[ \frac{\mathbf{R}_Q}{|\mathbf{R}_Q|} \cos \mathbf{Q} \cdot \mathbf{r}_i - \frac{\mathbf{I}_Q}{|\mathbf{I}_Q|} \sin \mathbf{Q} \cdot \mathbf{r}_i \right] \\ &= \frac{2}{\sqrt{N}} \frac{1}{2} \sqrt{N} S [\mathbf{R} \cos \mathbf{Q} \cdot \mathbf{r}_i - \mathbf{I} \sin \mathbf{Q} \cdot \mathbf{r}_i] \\ &= S [\mathbf{R} \cos \mathbf{Q} \cdot \mathbf{r}_i - \mathbf{I} \sin \mathbf{Q} \cdot \mathbf{r}_i] \end{aligned} \quad (44)$$

此处的 $\mathbf{R}, \mathbf{I}$ 满足

$$\begin{cases} \mathbf{R} = \frac{\mathbf{R}_Q}{|\mathbf{R}_Q|} \\ \mathbf{I} = \frac{\mathbf{I}_Q}{|\mathbf{I}_Q|} \end{cases} \quad (45)$$

, 其中,  $\mathbf{R}, \mathbf{I}$ 是相互垂直且长度为1的单位向量。取 $\mathbf{R}, \mathbf{I}$ 所在平面为 $xy$ 平面, 与其垂直的轴为 $z$ 轴, 则得到:

$$\begin{aligned} S_i^x &= S \cos(\mathbf{Q} \cdot \mathbf{r}_i + \theta) \\ S_i^y &= S \sin(\mathbf{Q} \cdot \mathbf{r}_i + \theta) \\ S_i^z &= 0 \end{aligned} \quad (46)$$

这里的 $\theta$ 是 $\mathbf{R}$ 与 $x$ 轴的夹角。由式(46)描述的自旋结构称为**螺旋自旋结构**, 其特征是在垂直于向量 $\mathbf{Q}$  (波的传播方向)的平面内, 所有自旋彼此平行并指向 $xy$ 平面的某一方向。实际物质中, 自旋排列会受到晶体各向异性的影响, 但理论上的Heisenberg模型是各向同性的, 因此 $(\mathbf{R}, \mathbf{I})$ 平面可以任意选择。该自旋结构在沿 $\mathbf{Q}$ 方向传播时, 每前进一步会以固定

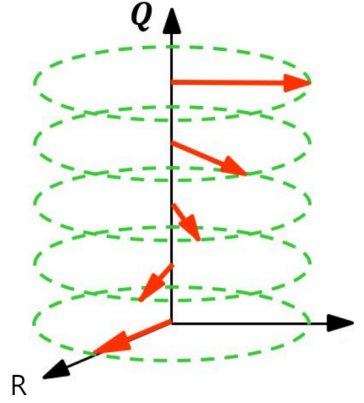


Figure 6: 螺旋自旋结构。

角度 $a|\mathbf{Q}|$ 旋转。这里的 $a$ 表示沿 $\mathbf{Q}$ 轴方向的晶面间距。从上述计算可以清楚地看出, 自旋的旋转平面与向量 $\mathbf{Q}$ 是独立的。特别是当 $z$ 轴与 $\mathbf{Q}$ 一致时, 这种结构被称为**正常螺旋结构**。螺旋自旋结构最早由吉森在1959年作为 $\text{MnO}_2$ 的自旋结构理论预测, 之后在其他化合物以及镧系元素中, 尤其是在比钆 (英文: gadolinium, 原子序数64, Gd) 更重的稀土金属中被发现。

实际上, 螺旋自旋结构要比强磁性( $\mathbf{Q} = 0$ )或反强磁性( $\mathbf{Q} =$  第一Brillouin区的边界)自旋状态更为稳定, 例如, 当最近邻自旋间的交换相互作用是强磁性的时, 第二、第三最近邻自旋间的相互作用必须抑制强磁性自旋排列, 即表现为反强磁性作用。因此, 要求交换相互作用扩展到第二、第三最近邻自旋之间。对于稀土金属, 交换相互作用是通过传导电子介导的间接交换相互作用 (RKKY相互作用)。与超交换相互作用相比, 这种相互作用的作用范围相当长, 并且随距离改变符号, 从而具备了螺旋结构出现的条件。

### 1.3.5 Dzyaloshinskii-Moriya相互作用

螺旋磁性出现的另一种机制来源于Dzyaloshinskii-Moriya相互作用。对于相邻的自旋 $\mathbf{S}_1$ 和 $\mathbf{S}_2$ , 其Hamiltonian可以表示为

$$\mathcal{H}_{\text{DM}} = \mathbf{D} \cdot (\mathbf{S}_1 \times \mathbf{S}_2) \quad (47)$$

其中, 系数向量 $\mathbf{D}$ 称为Dzyaloshinskii-Moriya向量, 它的方向由晶体的对称性决定。 $\mathbf{D}$ 的方向决定了螺旋自旋结构的旋转轴。例如, 如果 $\mathbf{D}$ 沿着 $z$ 轴, 则相邻自旋会在 $xy$ 平面内形成螺旋结构。由于Hamiltonian中包含了自旋的外积而非内积形式, 因此平行自旋状态不是该相互作用的最低能量状态。自旋互相垂直时, 能量最低。当存在这种相互作用时, 磁矩倾斜会更有利于能量稳定, 进而可能导致螺旋磁性的出现。在某些情况下, 可能会出现如**磁性斯格明子** (skyrmion) 这样的特殊旋涡状自旋排列。

在数学上, 包含最近邻 $\mathbf{S}_i \cdot \mathbf{S}_j$ 的交换相互作用和Dzyaloshinskii-Moriya相互作用的Hamiltonian为:

$$\mathcal{H} = J \sum_{\langle i,j \rangle} \mathbf{S}_i \cdot \mathbf{S}_j + \mathbf{D} \sum_{\langle i,j \rangle} \mathbf{S}_i \times \mathbf{S}_j \quad (48)$$

为了简化讨论，仅考虑最近邻的两点自旋 $\mathbf{S}_i$ 和 $\mathbf{S}_j$ ，并设它们之间的夹角为 $\theta$ ，则系统的能量为：

$$E = JS^2 \cos \theta + DS^2 \sin \theta \quad (49)$$

化简后得：

$$E = S^2 \sqrt{J^2 + D^2} \cos(\theta - \alpha) \quad (50)$$

其中，

$$\alpha = \arctan \frac{D}{J} \quad (51)$$

考虑使的能量达到最低的角度 $\theta$ ，在 $D = 0$ 时，平行或反平行的自旋排列是稳定的；但当 $D \neq 0$ 时，自旋排列将具有与 $D$ 大小相关的扭曲角 $\alpha$ ，从而形成螺旋磁性。

Dzyaloshinskii-Moriya相互作用出现在两个相互作用点之间缺乏晶体反演对称性时。因为如果 $\mathbf{S}_1$ 和 $\mathbf{S}_2$ 的中心存在反演中心，交换 $\mathbf{S}_1$ 和 $\mathbf{S}_2$ 后Hamiltonian不应发生变化，即：

$$\mathbf{D} \cdot (\mathbf{S}_1 \times \mathbf{S}_2) = \mathbf{D} \cdot (\mathbf{S}_2 \times \mathbf{S}_1) = -\mathbf{D} \cdot (\mathbf{S}_1 \times \mathbf{S}_2) \quad (52)$$

因此， $\mathcal{H}_{DM} = 0$ 。反之，当反演对称性被破坏时，Dzyaloshinskii-Moriya相互作用通常不会为零。值得注意的是，通过自旋内积 $\mathbf{S}_1 \cdot \mathbf{S}_2$ 表示的强磁性或反铁磁性相互作用与反演对称性无关，即 $\mathbf{S}_1 \cdot \mathbf{S}_2 = \mathbf{S}_2 \cdot \mathbf{S}_1$ 是始终成立的。

## 1.4 非磁性物质

非磁性物质可以分为**顺磁性体**和**抗磁性体**。

顺磁性体是指尽管存在磁矩，但这些磁矩并没有规则排列的物质。当温度升高时，任何磁性材料的磁矩之间的相互作用会被热扰动所破坏，导致磁矩失去自发对齐，从而发生**相变**进入顺磁性状态。对于顺磁性体，磁化强度与外加磁场成正比。可以理解为磁矩会在一定程度上沿着磁场方向排列（完全沿磁场方向排列需要非常强的磁场）。虽然电子本身具有产生磁性的自旋，但由于原子包含多个电子，整体上这些自旋可能会相互抵消（例如当电子壳层被完全填满时）。

在抗磁性体中，当施加磁场时，会产生与外加磁场方向相反的磁化效应。通过电磁感应的类比，抗磁性可以理解为电子在物质内部的圆周运动反向抵消了外加磁场。通常的电磁感应由于电子运动的散射而只能瞬时产生，但围绕原子核旋转的电子圆周运动不会受到扰动，因而持续地产生抗磁性。

## References

- [1] 盐见雄毅，《新·物性物理入门》，2023年8月1日初版第1次印刷，朝仓书店。
- [2] J Ping Liu, Zhidong Zhang, Guoping Zhao, 《Skyrmions Topological Structures, Properties, and Applications》，p2-p3.
- [3] 西森秀稔，新物理学系列35 《相变与临界现象的统计物理学》，2020年9月23日初版第13次印刷，培风馆。
- [4] 查尔斯·基泰尔，固体物理学导论（第8版），第29-31页。
- [5] 芳田奎，《磁性》，2015年7月10日按需印刷版，岩波书店。
- [6] 金森顺次郎，新物理学系列7 《磁性》，1969年，培风馆。
- [7] 胜本信吾，《磁性》课程讲义 第9次，东京大学物性研究所（理学系研究科物理学系）。
- [8] 佐藤宪昭，三宅和正，《磁性与超导的物理》，2020年4月20日初版第3次印刷，名古屋大学出版社。